



دانشکده مهندسی

پایان نامه کارشناسی ارشد در رشته مهندسی شیمی (گاز)

شبیه سازی برج ثبیت پالایشگاه فراشبند

توسط

بهاره کامیاب مقدس



استاد راهنما:

دکتر جمشید فتحی کلجاله‌ی

۱۳۸۶ / ۰ / ۲۱

شهریور ماه ۱۳۸۶

۹۴۸۷۹۷

بنام خداوند جان آفرین

۹۳/۹۷

به نام خدا

شبیه سازی برج تثبیت پالایشگاه فراشبند

به وسیله‌ی:

پهاره کامیاب مقدس

پایان نامه

ارائه شده به معاونت تحصیلات تکمیلی به عنوان بخشی از فعالیت‌های تحصیلی لازم
برای اخذ درجه کارشناسی ارشد

در رشتہ:

مهندسی شیمی

از دانشگاه شیراز

شیراز

جمهوری اسلامی ایران

ارزیابی شده توسط کمیته پایان نامه با درجه: عالی

دکتر جمشید فتحی کلجاهی استاد بخش مهندسی شیمی (رئیس کمیته)

دکتر محمد رضا رحیم پور، استاد بخش مهندسی شیمی

دکتر داریوش مولا، استاد بخش مهندسی شیمی

تقدیم به

مادرم، بزرگترین مشوقم، کسیکه هیجان گذشت زندگیم را با
تشویش نظاره گر بود و همچون او بودن آرزویم است.

پدرم، که اگر سایه بلند او پناهگاه امن زندگیم نبود، بی تردید شکوه
این لحظه را احساس نمی کردم

برادرم امین، که بیان شیوایش زیبایی واقعیتهای وجودم را از تاریک
و هم رهایی بخشد

برادرم رامین، که عمق نگاهش قالب خاموش زندگیم را به زلال
روشنی مبدل ساخت.

تقدیم به :

شیک لحظات زندگیم، که وجود بی آلایش سه عطش دانشم شد
و استواری وجودش تا ابد زندگی کردن را آموخت، نه در زمان زندگی
کردن را.

سپاسگزاری

خداآوند را سپاس می گویم که به من توان داد این مقطع از تحصیلات را به پایان برسانم. اکنون بر خود لازم می دانم از استاد گرانقدر جناب آقای دکتر جمشید فتحی استاد محترم بخش مهندسی شیمی دانشگاه شیراز که شاگردی ایشان از بزرگترین افتخارات و سرمایه های علمی اینجانب گردید کمال تشکر و قدردانی را بنمایم. سپاس صمیمانه خود را تقدیم جناب آقای دکتر داریوش مولا و آقای دکتر محمد رضا رحیم پور که وقت گرانبهایشان را صرف ارائه هرچه بهتر این پژوهش نمودند میکنم. همچنین بر خود لازم میدانم همکاریهای صمیمانه جناب آقای مهندس محمدی مسئول محترم فراورش شرکت گاز زنجیری جنوبی و کلیه دوستان و بزرگوارانی که در طول دوران تحصیل از همراهی و کمکهای ایشان استفاده نمودم قدردانی و سپاسگزاری نمایم.

این پایان نامه با حمایت پشتیبانی شرکت ملی گاز ایران اجرا شده است،
بدینوسیله از مک مالی آن شرکت سپاسگزاری می گردد.

چکیده

شبیه سازی برج تثبیت پالایشگاه گاز فراشبند

به وسیله‌ی:

بهاره کامیاب مقدس

در این مطالعه یک روش ریاضی برای بیش بینی عملکرد واحد تثبیت پالایشگاه گاز فراشبند ارائه شده است. خوراک ورودی به این واحد از دو مس سینی اول و ششم با دمای 35°C و 68°C به ترتیب وارد برج تثبیت می‌شوند. در مدل پیشنهاد شده موازنۀ جرم و انرژی روی هر سینی دریچه‌ای برج اعمال شده است. بعلاوه معادله حالت Peng-Robinson (PR) برای بدست آوردن داده‌های تعادل فازی استفاده گردیده است. معادلات یزد نسیلی غیر خطی این مدل با روش عددی حل شده و سپس نتیجه مدل ریاضی با داده‌های واحد عملی مقایسه و توافق خوبی حاصل گردیده است. بعد از تائید مدل، به کمک آن مطالعه تاثیر پارامترهای مختلف روی عملکرد واحد انجام شده است.

فهرست مطالب

عنوان

صفحه

فصل اول: مقدمه

۱

فصل دوم: مروری بر کارهای انجام شده

۴

۱-۱-۲- مروری بر کارهای انجام شده در زمینه شبیه سازی حالت پایا

۴

۲-۲- مروری بر کارهای انجام شده در زمینه شبیه سازی برج ثبیت

۶

۳-۲- مایعات گازی و اهمیت روز افزون آن در تامین انرژی

۷

۱-۳-۲- ترکیب گاز طبیعی

۸

۲-۳-۲- موارد مصرف دیگر گاز طبیعی

۸

فصل سوم: پالایشگاه گاز شبدند

۱۰

۱-۳- شرح مسیری از طرح گاز طبیعی آغار و دلان

۱۰

۱-۱-۱- میدان گازی دلان

۱۰

۱-۲-۱- میدان گازی آغار

۱۰

۳-۱-۳- پالایشگاه فراشبند (گاز جنوب)

۱۱

۲-۲-۳- شرح تاسیسات پالایشگاه فراشبند

۱۵

۲-۲-۳- محفظه های دریافت توپک (۴۵۰۰)

۱۵

۳-۲-۳- لخته گیرهای ورودی آغار و دلان (۱۰۰)

۱۶

۴-۲-۳- تفکیک کننده سه فازی (V-1.01)

۱۸

۲-۳-۵- نم زدایی (۲۰۰)

۱۹

۲-۳-۶- تثبیت مایعات گازی

۲۰

۲-۳-۶-۱- جداسازی سر چاه

۲۰

۲-۳-۶-۲- تولید مایعات گازی

عنوان

صفحة

٢١	-٣-٢-٢-٧- واحد تثبيت مایعات گازی
٢١	-٣-٢-٢-٧- معرفی واحد تثبيت
٢٢	-٣-٢-٢-٧- بررسی واحد تثبيت کننده مایعات گازی
٢٦	-٣-٢-٨- ذخیره سازی مایعات تثبيت شده
٢٧	-٣-٢-٩- ٦٠٠ - کنترل نقطه شبنم هیدروکربنی
٣١	فصل چهارم: شبیه سازی فرایند
٣١	-٤-٤-١- تعاریف شبیه سازی فرآیند
٣٣	-٤-٤-١-١- مدلسازی ریاضی، شبیه سازی ریاضی
٣٥	-٤-٤-٢- بکارگیری تکنیک های کامپیووتری
٣٦	-٤-٣-١- بررسی مسائل مرتبط با شبیه سازی حالت پایایی دیاگرام جریانی
٣٧	-٤-٣-١-١- مساله دیاگرام جریانی
٣٧	-٤-٣-٢- مساله طراحی
٤٠	فصل پنجم: مدل ریاضی برج تثبيت
٤٠	-٥-١- معادلات موازنۀ جرم برای جزء ۱ تا ۳۶
٤٢	-٥-٢- معادلات موازنۀ انرژی برای هر سینی
٤٢	-٥-١-٢- محاسبه ظرفیت های گرمایی فاز گاز و مایع
٤٣	-٥-٣- مدل ریاضی برای جوش آور
٤٣	-٥-٤- موازنۀ جرم جزء ۱ تا ۳۶ در باز جوش آور
٤٤	-٥-٥- موازنۀ انرژی در باز جوش آور
٤٤	-٥-٦- محاسبه K VALUE
٤٨	فصل ششم: چگونگی حل مدل و مقایسه نتایج با داده های صنعتی
٤٨	-٦-١- حدس مدل ریاضی مناسب
٥١	-٦-٢- مقایسه نتایج حاصل از مدل با شرایط واقعی (بالا و پایین برج)
٥٥	-٦-٣- مشخصات فنی دستگاه های واحد ۳۰۰
٦٠	فصل هفتم: شبیه سازی برج تثبيت و بررسی نتایج بدست آمده
٦٠	-٧-١- بررسی چگونگی تغییر متغیرهای مختلف در طول برج
٧٤	-٧-٢- بررسی اثر تغییرات خوارک ورودی به برج

عنوان

صفحة

٧٤	-بررسی اثر تغییرات دمای خوراک ورودی به برج روی توزیع دما
٧٥	-بررسی اثر تغییرات دبی خوراک ورودی بر روی بار حرارتی باز جوش آور
٧٦	-بررسی اثر تغییرات دبی خوراک ورودی بر درصد گاز و مایع خروجی از برج
٧٨	-بررسی اثر تغییرات دبی خوراک ورودی روی دبی مایع خروجی از برج
٧٩	-بررسی اثر تغییر دمای بازجوش آور بر روی متغیرهای مختلف در طول برج
٨٢	-نتیجه گیری و بحث
٨٣	-پیشنهادات
٨٤	مراجع

فهرست جداول

صفحه

عنوان

۱۳	جدول ۱-۳- ترکیب گاز حوزه گازی دلان
۱۴	جدول ۲-۳- ترکیب گاز حوزه گازی آغار
۱۵	جدول ۳-۳- تاسیسات پالایشگاه فراشبند
۱۹	جدول ۴-۳- خصوصیات دستگاه تفکیک کننده ۳ فازی
۵۳	جدول ۱-۶- مشخصات میعانات گازی ثبیت شده
۵۴	جدول ۲-۶- مشخصات مایعات ورودی به واحد ۳۰۰
۵۵	جدول ۳-۶- خروجی از "V-3.01" به برج ثبیت (F2)
۵۵	جدول ۴-۶- مشخصات برج ثبیت (T-3.01)
۵۶	جدول ۵-۶- تانک ذخیره Tk-3.02
۵۶	جدول ۶-۶- ورودی به برج ثبیت از E-3.01
۵۷	جدول ۷-۶- ورودی به برج ثبیت از (F1) E-3.03
۵۷	جدول ۸-۶- خروجی از برج ثبیت به واحد ۱۸۰۰
۵۷	جدول ۹-۶- خروجی از برج ثبیت به E-3.01
۵۸	جدول ۱۰-۶ خصوصیات دستگاه E-3.01
۵۸	جدول ۱۱-۶ خروجی از E-3.01 به E-3.03
۵۹	جدول ۱۲-۶- مشخصات دستگاه E-3.03

فهرست شکل ها

عنوان	صفحه
شکل ۱-۲	توالی سلسله مراتب طراحی فرآیند به وسیله نمودار پیازگونه.
شکل ۱-۳	مسیر ورودی گاز و مایعات گازی از حوزه های آغار و دلان
شکل ۲-۳	نمایی از واحد ۱۰۰ پالایشگاه فراشبند
شکل ۳-۳	تفکیک کننده ۳ فازی واحد ۱۰۰
شکل ۴-۳	نمایی از واحد ۳۰۰ پالایشگاه فراشبند
شکل ۵-۳	نمای کلی برج تثیت مایعات
شکل ۱-۴	مسئله دیاگرام جریانی
شکل ۲-۴	مسئله طراحی
شکل ۳-۴	مسئله طراحی، راهبرد حل
شکل ۱-۵	جریان های ورودی و خروجی سینی یکم
شکل ۲-۵	جریان های ورودی و خروجی سینی ششم
شکل ۳-۵	جریان های ورودی و خروجی باز جوش آور
شکل ۱-۶	نمودار جریان برنامه
شکل ۲-۶	نمای کلی ورودی ها و خروجی های Tk-3.01
نمودار ۱-۷	تغییرات C7-2m در فاز مایع در طول برج
نمودار ۲-۷	تغییرات C7-2m در فاز بخار در طول برج
نمودار ۳-۷	تغییرات He در فاز مایع در طول برج
نمودار ۴-۷	تغییرات He در فاز بخار در طول برج
نمودار ۵-۷	تغییرات nC7 در فاز مایع در طول برج
نمودار ۶-۷	تغییرات nC7 در فاز بخار در طول برج
نمودار ۷-۷	تغییرات 9nC در فاز مایع در طول برج
نمودار ۸-۷	تغییرات 9nC در فاز بخار در طول برج
نمودار ۹-۷	تغییرات 12nC در فاز مایع در طول برج
نمودار ۱۰-۷	تغییرات 12nC در فاز بخار در طول برج
نمودار ۱۱-۷	تغییرات 13nC در فاز مایع در طول برج
نمودار ۱۲-۷	تغییرات 13nC در فاز بخار در طول برج
نمودار ۱۳-۷	تغییرات 14nC در فاز بخار در طول برج
نمودار ۱۴-۷	تغییرات 15nC در فاز مایع در طول برج
نمودار ۱۵-۷	تغییرات 15nC در فاز بخار در طول برج

عنوان

صفحه

۶۸	تغییرات nC_{16} در فاز بخار در طول برج	نمودار-۱۶-۷-
۶۹	تغییرات nC_{19} در فاز مایع در طول برج	نمودار-۱۷-۷-
۶۹	تغییرات nC_{19} در فاز بخار در طول برج	نمودار-۱۸-۷-
۷۰	تغییرات nC_{20} در فاز مایع در طول برج	نمودار-۱۹-۷-
۷۰	تغییرات nC_{20} در فاز بخار در طول برج	نمودار-۲۰-۷-
۷۱	تغییرات $n-p\text{-benzen}$ در فاز مایع در طول برج	نمودار-۲۱-۷-
۷۱	تغییرات $n-p\text{-benzen}$ در فاز بخار در طول برج	نمودار-۲۲-۷-
۷۲	تغییرات دما در طول برج	نمودار-۲۳-۷-
۷۲	تغییرات Gas flow rate در طول برج	نمودار-۲۴-۷-
۷۳	تغییرات Liquid flow rate در طول برج	نمودار-۲۵-۷-
۷۴	اثر تغییرات دمای خوراک ورودی به برج (f1) روی توزیع دما	نمودار-۲۶-۷-
۷۵	اثر تغییرات دمای خوراک ورودی به برج (f2) روی توزیع دما	نمودار-۲۷-۷-
۷۵	اثر تغییرات دبی خوراک ورودی به سینی اول روی بار حرارتی باز جوش آور	نمودار-۲۸-۷-
۷۶	اثر تغییرات دبی خوراک ورودی به سینی ششم روی بار حرارتی باز جوش آور	نمودار-۲۹-۷-
۷۶	اثر تغییرات دبی خوراک ورودی (f2) روی درصد جزئی گاز خروجی از برج	نمودار-۳۰-۷-
۷۷	اثر تغییرات دبی خوراک ورودی (f1) روی درصد جزئی گاز خروجی از برج	نمودار-۳۱-۷-
۷۷	اثر تغییرات دبی خوراک ورودی (f2) روی درصد جزئی مایع خروجی از برج	نمودار-۳۲-۷-
۷۸	اثر تغییرات دبی خوراک ورودی (f1) روی درصد جزئی مایع خروجی از برج	نمودار-۳۳-۷-
۷۸	اثر تغییرات دبی خوراک ورودی (f2) روی دبی مایع خروجی از برج	نمودار-۳۴-۷-
۷۹	اثر تغییرات دبی خوراک ورودی (f1) روی دبی مایع خروجی از برج	نمودار-۳۵-۷-
۷۹	اثر تغییر دمای بازجوش آور بر روی درصد جزئی گاز خروجی	نمودار-۳۶-۷-
۸۰	اثر تغییر دمای بازجوش آور بر روی دبی مایع خروجی	نمودار-۳۷-۷-
۸۰	اثر تغییر دمای بازجوش آور بر روی درصد جزئی مایع خروجی	نمودار-۳۸-۷-
۸۱	اثر تغییر دمای بازجوش آور بر روی دمای سینیهای برج	نمودار-۳۹-۷-
۸۱	اثر تغییر دمای بازجوش آور بر روی باز جوش آور	نمودار-۴۰-۷-

فهرست نشانه های اختصاری

(Psia) Reid = فشار بخار RVP

= گاز طبیعی مایع شده LNG

Million Standard Cubic Feet per Day = MSCFD

= درجه فارنهایت F

= درجه سانتیگراد °C

= فشار بخار نسبی (lb_f/in²) Psig

Peng - Robinson = معادله حالت PR

= خوراک ورودی روی سینی ۶ (Kg/hr) F1

= خوراک ورودی روی سینی ۱ (Kg/hr) F2

= درصد جزئی فاز مایع برای جزء i ام روی سینی زام Xi,j

= درصد جزئی فاز گاز برای جزء i ام روی سینی زام Yi,j

= خروجی گاز بالای برج (Kg/hr) B

= خروجی مایع پایین برج (Kg/hr) D

= دبی مایع خروجی از سینی i ام (Kg/hr) Li

= دبی گاز خروجی از سینی i ام (Kg/hr) Gi

= دبی گاز خروجی از سینی i ام (Kg/hr) Vi

= آنتالپی (KJ/K) H

= آنتالپی ویژه (KJ/Kg.K) h

= گرمای ویژه فاز مایع (J/mol.K) Cpl

= گرمای ویژه فاز گاز (J/mol.K) Cpg

$$(K) = \text{دما} \quad T$$

$$= \text{دما} \text{ کاهش} \text{ یافته} \quad T_r$$

$$(K) = \text{دما} \text{ بحرانی} \quad T_c$$

$$= \text{ثابت تعادل} \quad K$$

$$f_i^L = \text{فوگاسیته جزء } i \text{ در فاز مایع}$$

$$f_i^V = \text{فوگاسیته جزء } i \text{ در فاز گاز}$$

$$(Psia) = \text{فشار} \quad P$$

$$(Psia) = \text{فشار بحرانی} \quad P_c$$

$$(m^3 \cdot atm / Kmol \cdot K) = \text{ثابت جهانی گازها} \quad R$$

$$z^l = \text{فاکتور } Z \text{ در فاز مایع}$$

$$z^v = \text{فاکتور } Z \text{ در فاز گاز}$$

$$\phi_i^L = \text{ضریب فوگاسیته جزء } i \text{ در فاز مایع}$$

$$\phi_i^V = \text{ضریب فوگاسیته جزء } i \text{ در فاز مایع}$$

$$w = \text{ضریب بی مرکزی}$$

فصل اول: مقدمه

رقابت‌های فرآینده در طراحی فرآیند صنایع را مجبور به گسترش و کاربرد تکنیک‌های ریاضی شبیه‌سازی کرده است تا بتوانند کیفیت محصولاتشان را تضمین کنند. مهمترین موارد در این زمینه ایمنی و اقتصاد واحد صنعتی، خلوص محصول، هزینه تجهیزات، حداقل مواد ذخیره لازم و مصارف عمومی و اثرات محیطی می‌باشد. تعقیب این هدف مهم منجر به رشد سریع تعداد موارد کاربرد شبیه‌سازی‌های کامپیوتری هم در مرحله طراحی و هم در شرایط عملیاتی واحدهای صنعتی مانند پالایشگاهها، فرآوری گاز، پتروشیمی‌ها و ... شده است. شبیه‌سازی مرسوم حالت پایا برای طراحی، تلفیق فرآیند و بررسی و بهینه‌سازی اهمیت دارد، چرا که واحد اکثرا در این حالت کار می‌کند (لوری^۱، ۱۹۹۷).

امروزه به یاری روشهای عددی و ریاضیات کاربردی شبیه‌سازی کامپیوتری فرآیند‌های تولیدی کمک شایانی به پیشرفت علوم و طراحی‌های صنعتی نموده است. از جنبه‌های قابل توجه شبیه‌سازی کامپیوتری فرآیند‌های تولیدی جنبه اقتصادی آنهاست. چرا که استفاده از این روش نیاز به ساخت واحدهای نمونه کوچک جهت بررسی رفتار یک سیستم را منتفی می‌کند. و همچنین با روشن نمودن تاثیر پذیری سیستم از پارامترهای عملیاتی بدون آن که نیازی به تغییرات عملی در واحدهای موجود باشد امکان پیش‌بینی رفتار سیستم را میسر می‌نماید. با توجه به این مطالب شبیه‌سازی واحدهای مختلف فراورش گاز از جمله برج ثبیت حائز اهمیت است.

شبیه‌سازی دیاگرام جریانی به عنوان وسیله‌ای برای اجرای ارزیابی سیستم‌های فرآیند شیمیایی تاریخی دارد که به قدمت مفاهیم موازنۀ انرژی و مواد است. در آغاز محاسبات تنها به وسیله مداد و کاغذ انجام می‌شد، و وسایلی مانند خط‌کش محاسبات به کمک می‌آمد. با گذشت زمان سیستم‌های مورد استفاده در فرآیندهای شیمیایی دارای پیچیدگی‌های روزافزون شد، به نحوی که معادلات بسیار مفصل‌تری برای توصیف واحدهای صنعتی لازم بوده و حل این معادلات بسیار وقت بر می‌شد. مهم‌ترین تحول در این زمینه پیدایش کامپیوتر بود. دیگر بسیار آسان‌تر و سریع‌تر می‌شد به نتیجه‌های موردنظر محاسبات دست یافت. حتی بعد از پیدایش

^۱ - Lory

کامپیوتر نیز در ابتدا مدل‌های موجود برای واحدهای عملیاتی توسعه پیدا کرده و به عنوان مدل‌های مجزا به کامپیوتر منتقل می‌شد. این مدل‌ها، مدل‌هایی منفرد و اختصاصی بودند که هر واحد عملیاتی را بدون بر هم کنش با واحدهای دیگر توصیف و شبیه‌سازی می‌کرد. با ظهور کامپیوترهای قوی‌تر، ایده متصل کردن مدل‌های مجزای مختلف به یکدیگر پدید آمد و سبب مدل‌سازی برای بر هم کنش بین واحدهای عملیاتی از طریق شبیه‌سازی شد (ارکال² و همکاران، ۱۹۹۵).

ابزار مدل‌سازی در شبیه‌سازهای فعلی به صورت تقریبی می‌تواند به دو گروه طبقه‌بندی شود، یک سیستم شبیه‌سازی دیاگرام جریانی فرآیند شیمیایی معادله‌نگر^۳، که ممکن است برای یک واحد صنعتی پیچیده شامل هزاران متغیر و معادله باشکد. در حالت کلی این سیستم پراکنده، دارای درجه آزادی مثبت و به عبارت دیگر تعریف نشده به صورت کامل و غیرخطی است. حل چنین سیستم غیر خطی نیاز به پردازندۀ کامپیوتری فوق العاده قوی دارد. حتی با استفاده از چنین کامپیوتری در اکثر حالات برنامه کامپیوتری نوشته شده همگرا نشده و موفقیت‌آمیز نیست.

علاوه بر روش معادله‌نگر شبیه‌سازهای دیگری از روشی موسوم به بسته‌ای ترتیبی^۴ استفاده می‌نمایند. در این شبیه‌سازها داده‌ها بین مدل‌های منفرد انتقال داده می‌شوند، ولی در هر لحظه یک مدل حل می‌شود که این محاسبات در یک ترتیب از پیش تعیین شده قرار دارد (ارکال^۵ و همکاران، ۱۹۹۵). در روش بسته‌ای ترتیبی مدل‌های عملیاتی به نحوی نوشته می‌شوند تا خروجی یک دستگاه را به ازای مشخصات و پارامترهای جریان ورودی‌شان محاسبه کنند. این روش خصوصاً در صورتی که جریانهای برگشتی کم موجود باشد مفید است.

خالص‌سازی و پالایش و تثبیت مایعات گازی یکی از پرجاذبه‌ترین فرآیندهای صنعتی برای شبیه‌سازی حالت پایا می‌باشد. گاز طبیعی به منظور اقتصادی بودن مصرفش باید تثبیت شود. تثبیت گاز شامل جداسازی اجزای سنگین از هیدروکربنهای سبک است به شکلی که این مایعات گازی آمده استفاده و نیز انتقال باشد.

هدف، مطالعه مدل ریاضی و شبیه‌سازی برج تثبیت پالایشگاه گاز فراشبند می‌باشد. برای شبیه‌سازی حالت پایای دیاگرام جریانی برج تثبیت، مدل‌سازی برج سینی‌دار تثبیت مورد نیاز بود که پیشتر در فصل پنجم انجام شد. شبیه‌سازی حالت پایای دیاگرام جریانی بر مبنای موازنۀ جرم و انرژی در هر دستگاه پایه‌ریزی شده است و از مدل‌های کمکی ترمودینامیکی مانند ثابت‌های تعادلی فازی نیز استفاده شده است. در شبیه‌سازی انجام شده، شرایط دمایی و نیز

² - Ercal

³ - Equation Oriented (EO)

⁴ - Sequential Modular (SM)

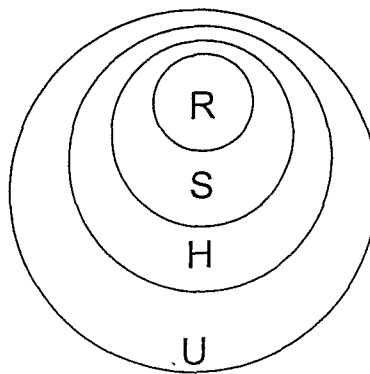
⁵ - Ercal

ترکیب جریانها به دست می‌آید. در نهایت نیز نتایج مدل با نتایج صنعتی موجود مقایسه می‌شود.

فصل دوم: مروری بر کارهای انجام شده

۱-۲- مروری بر کارهای انجام شده در زمینه شبیه سازی حالت پایا

در زمینه شبیه سازی حالت پایای دیاگرام جریانی بررسی های لازم انجام شده است و انواع روش‌های حل چنین مسائل به تفصیل گردآوری شده است (کی وی ساری^۶ و همکاران، ۲۰۰۱). یکپارچه سازی فرآیند^۷ در سالهای ۱۹۸۰-۱۹۹۰ به عنوان یک نظام جدید در مهندسی شیمی با تأکید استفاده موثر از انرژی پدید آمد. یکپارچه سازی فرآیند نشان داد مقادیر زیاد صرفه جویی انرژی تنها در صورت بررسی کل سیستم و نه با بررسی جداگانه هر یک از دستگاهها امکان پذیر خواهد بود. قبل از آن زمان، روش مرسوم طراحی فرآیندها شامل یک سلسله فازهایی بود که به وسیله یک نمودار پیاز گونه همانگونه که در شکل (۱-۲) آمده است، می‌تواند بیان شود.



شکل (۱-۲) توالی سلسله مراتب طراحی فرآیند به وسیله نمودار پیاز گونه. R: سیستم رآکتور، S: سیستم جداسازی، H: سیستم بازیابی حرارت، U: سیستمهای خدمات دهنده (Utility)

⁶- Kivisaari

⁷- Process Integration, PI

طراحی فرآیند با رآکتور (R) آغاز می‌شود. بسته به ترکیب مخلوط در خروجی از رآکتور توسعه شبیه‌سازی با سیستم جداسازی (R) ادامه پیدا می‌کند. سپس شبیه‌سازی مبدلها و بازیابی حرارت و سیستمهای سرویس دهنده انجام می‌شود. واضح است که جدا ساختن کامل فعالیتهای ذکر شده امکان‌پذیر نمی‌باشد. برای مثال، مدیریت انرژی یک واحد صنعتی، ناگفته به طراحی رآکتور پیوسته است. به طور مشابه سیستم جداسازی، شبکه مبدل‌های حرارتی و سیستمهای سرویسی با هم در ارتباط است.

بسیار آشکار است که بین دستگاهها و زیرسیستمهای اثرات متقابل گسترهای وجود دارد. در واقع، مشخصه واحدهای پیچیده وجود جریانهای برگشتی مواد و انرژی می‌باشد که یکپارچه‌سازی آنها را به صورت یک روش اصولی مستدل ضروری می‌سازد.

مشاهده می‌شود که دو لایه داخلی، رآکتور و سیستم جداسازی، پوش موازنه مواد را تعریف می‌کند. علاوه بر این پوش ذکر شده ساختار اساسی دیاگرام جریانی را نیز تعریف می‌کند که هدف فعالیتی است که تلفیق فرآیند نام دارد. لایه‌های خارجی بازیابی حرارت و سیستمهای خدمات دهنده با پوش موازنه حرارت سر و کار دارند.

تا سال ۱۹۹۰ ساخت فرآیند و یکپارچه‌سازی فرآیند به شکل فعالیتهای هرچند به صورت مکمل ولی جدا در نظر گرفته می‌شد. در سال ۱۹۹۵ تعریفی توسط آژانس بین‌المللی انرژی ارائه شد که یکپارچه‌سازی فرآیند را به صورت روش‌های اصولی و عمومی برای طراحی سیستمهای تولید یکپارچه که شامل فرآیندها خاص تا کلیه فرآیندها می‌باشد و با تأکید خاص بر استفاده بهینه انرژی و کاهش اثرات محیطی است" نشان می‌دهد.

در سالهای اخیر مرز بین ساخت فرآیند و یکپارچه‌سازی فرآیند نامشخص و عملاً محو شده است. فعالیتهای متعددی، که جزو نوع تلفیق فرآیند قلمداد می‌شوند، با مسائل یکپارچه‌سازی نیز سر و کار دارند. برای مثال کسی نمی‌تواند ساخت بهینه تقطیر متوالی را بدون در نظر گرفتن حداقل‌سازی انرژی انجام دهد. در مقابل بهترین روش‌های حفظ انرژی وقتی به دست می‌آید که طراحی ساختار اصلی دیاگرام جریانی بتواند مکررا در یک فرآیند سعی و خطا تصحیح شود. از آنجا که عنوان یکپارچه‌سازی فرآیند جذاب‌تر به نظر می‌رسد، و هدف غایی طراحی فرآیند پیشرفتی را نشان می‌دهد - که همان یکپارچه‌سازی بهینه دستگاههای مختلف در یک سیستم است - گروههای تحقیقاتی زیادی در سرتاسر جهان بر روی آن مطالعه می‌کنند. رافیکوات گانی و مارتین هوسترپ^۱، تعاریف و کاربردهای شبیه سازی فرآیند را بیان نمودند. آنها روش‌های مختلف شبیه سازی حالت پایایی دیاگرام جریانی را مورد بررسی قرار داده و روش‌های حل ریاضی دستگاه معادلات به دست آمده را ذکر نمودند.

^۱- Rafiqut Gani & Martin Hostrup